

日本航海学会誌

NAVIGATION

21世紀の新しい針路を求めて

---

「船の安定性理論」に関する応用例題

堀 勉

*An Advanced Example on Ship's Stability Theorem  
— Solution for Stable Attitude of an Inclined Ship —*

*Tsutomu HORI*

---

令和3年  
**10**月  
第218号



## 解説・展望

# 「船の安定性理論」に関する応用例題 — 横傾斜状態での安定姿勢の求解 —

堀 勉

## An Advanced Example on Ship's Stability Theorem — Solution for Stable Attitude of an Inclined Ship —

Tsutomu HORI

**キーワード:** 船, 安定性理論, 傾斜状態, 安定姿勢, 応用例題

### 1. まえがき

船の安定性理論に関する例題として, 前報<sup>(1)</sup>では, 長方形断面(任意の材質と任意の幅)を有する柱状船が, 直立状態(甲板が水平な姿勢)で安定に浮く条件について, 浮心・重心・メタセンターの位置関係の観点から, その解法を紹介した。

一方, 上記の条件を満たさない場合, 船がどのような状態で浮くのかも, 力学的には興味あるところである。

この問題については, 防衛大学の五十嵐らが, 正方形断面<sup>(2)</sup>と長方形断面<sup>(3)</sup>の角材の姿勢について, その重心と浮心に関する幾何学的考察から, 詳細に解明されている。

本稿では, 前報<sup>(1)</sup>の延長線上の応用例題として, 長方形断面の柱状船の, 傾斜状態での安定姿勢を求解する手法を, 解説させて頂く次第である。

### 2. 設定変数としての材質 $\alpha$ と幅 $\beta$

本稿では, 設定変数として, 前報<sup>(1)</sup>と同様に, 柱状船の比重量  $\gamma_t$  (下添字の  $t$  は, 木材の timber の頭文字) と水の比重量  $\gamma_w$  (下添字の  $w$  は, 水の Water の頭文字) の比を  $\alpha$  (以下, 材質と呼ぶ) とし, 断面の幅  $\beta h$  と深さ  $h$  の比(アスペクト比)を  $\beta$  (以下, 幅と呼ぶ) とし,

$$\left. \begin{aligned} \alpha &\equiv \frac{\gamma_t}{\gamma_w} \quad (\text{但し, } 0 < \alpha \leq 1) \\ \beta &\equiv \frac{\text{幅}}{\text{深さ}} = \frac{\beta h}{h} \quad (\text{但し, } \beta > 0) \end{aligned} \right\} \dots\dots(1)$$

のように, 定義したものである。ここに,  $\gamma_w$  が真水の場合,  $\alpha$  は柱状船の比重を表わす。

### 3. 直立した

#### 長方形断面の柱状船の安定条件

前報<sup>(1)</sup>では, 直立状態(甲板が水平な姿勢)で安定に浮く条件は, (1)式の  $\alpha$  と  $\beta$  の関係として,

$$\beta^2 - 6\alpha(1-\alpha) > 0 \quad \dots\dots\dots(2)$$

のように, 書くことができるから,

● 材質  $\alpha$  を固定した場合の, 幅  $\beta$  に対する安定条件は,

$$\left. \begin{aligned} \beta &> \sqrt{6\alpha(1-\alpha)} \\ \text{例えば, } \alpha &= \frac{1}{2} \rightarrow \beta > = \frac{\sqrt{6}}{2} \doteq 1.225 \end{aligned} \right\} (3)$$

であり,

● 幅  $\beta$  を固定した場合の, 材質  $\alpha$  に対する安定条件は,

i) 幅が広い  $\left(\beta > \frac{\sqrt{6}}{2}\right)$  場合は,

材質  $\alpha$  に依らず, 浮体は常に安定し,

ii) 幅が狭い  $\left(\beta < \frac{\sqrt{6}}{2}\right)$  場合は,

$$\left. \begin{aligned} &0 < \alpha < \frac{1}{2} - \kappa \quad (\text{軽い材質}) \\ &\frac{1}{2} + \kappa < \alpha \leq 1 \quad (\text{重い材質}) \\ &\text{但し, } \left\{ \begin{aligned} &\kappa \equiv \frac{\sqrt{3(3-2\beta^2)}}{6} \\ &\text{例えば, } \beta=1 \rightarrow \kappa = \frac{\sqrt{3}}{6} \doteq 0.289 \end{aligned} \right. \end{aligned} \right\} (4)$$

のように, 軽い材質と重い材質で, 安定することを, 解説した<sup>(1)</sup>.

#### 4. 横傾斜した

##### 長方形断面の柱状船の安定姿勢

本章では, 前章で述べた, 直立状態での安定条件を満たさない場合, どんな傾斜状態で安定するのか?, その姿勢 (傾斜角) を求めよう.

図1に示すように, 深さ  $h$ , 幅  $\beta h$  の長方形断面を有する長さ  $L$  の柱状船 (均質な材質で, 比重量  $\gamma_t$

の角材) が, 直立状態から, 右舷側に  $\theta$  だけ横傾斜した状態で, 安定して浮いている場合を想定する.

まず, 吃水を定めるために, 傾斜状態での水面下の横断面積  $A_w$  を, 求めておこう.

その形状は, 高さ  $\beta h$  の台形であるから, 直立時の吃水を  $d$  とすれば, 上底と下底は, 左舷と右舷の浸水長の増減  $\frac{\beta h}{2} \tan \theta$  を考慮して,

$$\begin{aligned} A_w &= \frac{1}{2} \left\{ \left( d - \frac{\beta h}{2} \tan \theta \right) + \left( d + \frac{\beta h}{2} \tan \theta \right) \right\} \cdot \beta h \\ &= \beta h d \quad \dots\dots\dots (5) \end{aligned}$$

のように求まり, 直立時の水面下形状である長方形の面積に等しいことが分かる.

柱状船の重量  $W$  と浮力  $F_B$  は, それぞれ,

$$\left. \begin{aligned} W &= \gamma_t V_t = \gamma_t \cdot \beta h \cdot h \cdot L \\ F_B &= \gamma_w V_w = \gamma_w A_w L = \gamma_w \cdot \beta h d \cdot L \end{aligned} \right\} \dots\dots (6)$$

のように求められる. 前者の重量  $W$  は, 柱状船の比重量  $\gamma_t$  と全体積  $V_t$  の積として, 後者の浮力  $F_B$  は, Archimedes の原理により, 水の比重量  $\gamma_w$  と排水体積  $V_w$  の積として得られている.  $V_w$  は, (5)式の横断面積  $A_w$  と船長  $L$  の積で得られる.

浮体は, 重量と浮力が平衡した状態

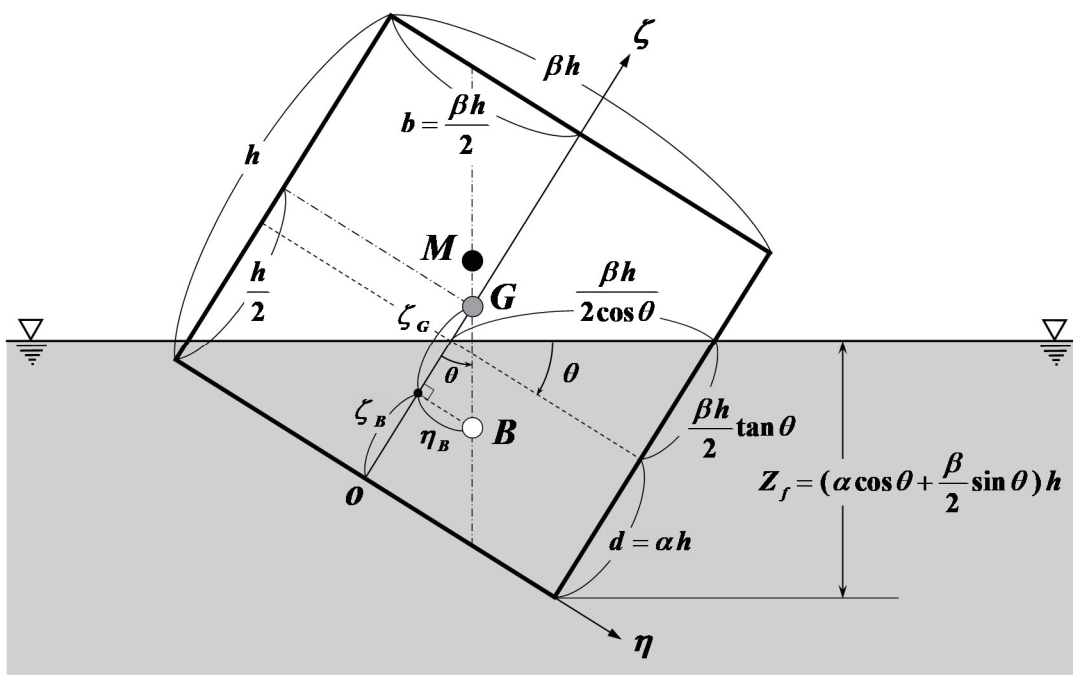


図1 横傾斜状態で安定している長方形断面を有する柱状船 (長さ  $L$ )

$$W = F_B \dots\dots\dots(7)$$

で安定するから、(6)式の  $W$  と  $F_B$  を等置すれば、

$$\gamma_t \cdot \beta h \cdot h \cdot L = \gamma_w \cdot \beta h \cdot d \cdot L \dots\dots\dots(8)$$

となる。これを解くことにより、直立時の吃水  $d$  を、

$$d = \frac{\gamma_t}{\gamma_w} h = \alpha h \dots\dots\dots(9)$$

のように、深さ  $h$  の  $\alpha$  倍として、決めることができる。

本論では、問題を簡単化するために、横傾斜しても、図1のように、全幅に亘って、甲板（長方形断面の上辺）は水面上に、船底（長方形の下辺）は水面下にあり、(5)式で計算したように、水面下の横断面形状が台形である場合について、解説する。

その仮定は、横傾斜による浸水長の増加分が、直立時の乾舷  $h-d$  や吃水  $d$  を超えない条件として、

$$\frac{\beta h}{2} \tan \theta \leq \begin{cases} h-d = (1-\alpha)h & (\alpha \geq \frac{1}{2} \text{ の場合}) \\ d = \alpha h & (\alpha < \frac{1}{2} \text{ の場合}) \end{cases} \dots\dots(10)$$

を課すことになるから、傾斜角  $\theta$  は、

$$\tan \theta \leq \begin{cases} \frac{2(1-\alpha)}{\beta} & (\alpha \geq \frac{1}{2} \text{ の場合}) \\ \frac{2\alpha}{\beta} & (\alpha < \frac{1}{2} \text{ の場合}) \end{cases} \dots\dots(11)$$

の範囲内に収まる、小傾斜角に限定する。例えば、

$$\left. \begin{aligned} \beta = 1, \alpha = \frac{1}{2} \\ \rightarrow \tan \theta \leq 1 \therefore \theta \leq \frac{\pi}{4} \end{aligned} \right\} \dots\dots\dots(12)$$

の設定範囲を意味する。

$\theta$  だけ横傾斜したときの浮心位置  $B(\eta_B, \zeta_B)$  は、静水圧の圧力中心として、堀<sup>(4),(5)</sup>によって求められている。図1に示すように、船底中央に原点  $o$  を取り、浮体に固定して傾斜した  $o-\eta\zeta$  座標系で、直立時の吃水を  $d$ 、半幅を  $b$  としたとき、

$$\left. \begin{aligned} \eta_B &= \frac{b^2}{3d} \tan \theta \\ \zeta_B &= \frac{d}{2} + \frac{b^2}{6d} \tan^2 \theta \end{aligned} \right\} \dots\dots\dots(13)$$

のように、得られている<sup>(4)</sup>。この結果は、附録に示すように、横傾斜時の水面下の横断面形状である台形の図心を、面積モーメントから幾何学的に求めた、(A-5)式の結果と一致しており、正しく、周知の浮心位置と合致するものである。

ここに、(13)式において、 $d$  と  $b$  を、それぞれ、

$$\left. \begin{aligned} d &= \alpha h \\ b &= \frac{1}{2} \beta h \end{aligned} \right\} \dots\dots\dots(14)$$

に置き換えることにより、 $\eta_B, \zeta_B$  は、

$$\left. \begin{aligned} \eta_B &= \frac{\beta^2 \tan \theta}{12\alpha} h \\ \zeta_B &= \frac{\alpha h}{2} + \frac{\beta^2 \tan^2 \theta}{24\alpha} h \end{aligned} \right\} \dots\dots\dots(15)$$

のように書くことができる。重心  $G$  は、均質な材質を仮定しているから、傾斜後も長方形断面の図心 (= 中心) に位置し、 $\zeta_B$  と  $\zeta_G$  の和が  $\frac{h}{2}$  になることを用いれば、図1の  $\zeta_G$  は、

$$\begin{aligned} \zeta_G &= \frac{h}{2} - \zeta_B \\ &= \frac{1-\alpha}{2} h - \frac{\beta^2 \tan^2 \theta}{24\alpha} h \\ &= \frac{12\alpha(1-\alpha) - \beta^2 \tan^2 \theta}{24\alpha} h \dots\dots\dots(16) \end{aligned}$$

のように、求められる。

ここに、図1の傾斜状態を保持して浮くには、まず、浮心  $B$  と重心  $G$  が、同一鉛直線上に位置する必要があるから、 $\eta_B$  と  $\zeta_G$  の間に、

$$\left. \begin{aligned} \frac{\eta_B}{\zeta_G} &= \tan \theta \\ \therefore \eta_B &= \zeta_G \tan \theta \end{aligned} \right\} \dots\dots\dots(17)$$

の関係を要求される。 $\eta_B, \zeta_G$  に、(15), (16)式を用いることにより、

$$\beta^2 \tan^2 \theta = 2 \{ 6\alpha(1-\alpha) - \beta^2 \} \dots\dots\dots(18)$$

の関係式が得られる。これにより、所定の材質  $\alpha$  と幅  $\beta$  に対して、傾斜姿勢  $\theta$  の正接は、

$$\tan \theta = \frac{\sqrt{2\{6\alpha(1-\alpha)-\beta^2\}}}{\beta} \dots\dots\dots(19)$$

によって求められ、右辺の根号内が正になるとき、傾斜角  $\theta$  の解が存在することになる。結果は、五十嵐ら<sup>(3)</sup>の(1-h)式や(4-f)式に一致する。これは、分子の中括弧内が正値を取ること

$$6\alpha(1-\alpha)-\beta^2 > 0 \dots\dots\dots(20)$$

を要求するものであるが、3章(2)式の直立状態で安定する条件と、不等号が逆の条件式となっており、本章での解析の正当性を、確認できる。

次に、上述の傾斜姿勢  $\theta$  が、安定であるか？を、検討するために、メタセンター  $M$  の位置決めをしておく必要がある。

メタセンター半径  $\overline{BM}$  は、造船学の基本公式<sup>(6)</sup>

$$\overline{BM} = \frac{I_{cl}}{V_w} \dots\dots\dots(21)$$

を使って、算定できる。  $I_{cl}$  は、水線面の *Center Line* に関する2次モーメント、  $V_w$  は排水体積を意味する。

分子の  $I_{cl}$  は、傾斜時の水線面が、長さ  $L$ 、幅  $\frac{\beta h}{\cos \theta}$  の長方形であるから、

$$I_{cl} = \frac{1}{12} \left( \frac{\beta h}{\cos \theta} \right)^3 L \dots\dots\dots(22)$$

となる。分母の  $V_w$  は、(5)式の  $A_w$  に、(9)式の  $d$  を用いることにより、

$$V_w = A_w L = \beta h d \cdot L = \alpha \beta h^2 L \dots\dots\dots(23)$$

のように計算できる。

得られた  $I_{cl}$  と  $V_w$  の結果を、(21)式に用いることにより、  $\overline{BM}$  は、

$$\overline{BM} = \frac{1}{12} \left( \frac{\beta h}{\cos \theta} \right)^3 L = \frac{\beta^2}{12\alpha \cos^3 \theta} h \dots\dots\dots(24)$$

のように、算定できる。

続いて、傾斜状態での  $\overline{BG}$  は、図1により、(15)

式の  $\eta_B$  との三角比を用いて、

$$\overline{BG} = \frac{\eta_B}{\sin \theta} = \frac{\beta^2}{12\alpha \cos \theta} h = \overline{BM} \cos^2 \theta \dots\dots(25)$$

のように求まるから、メタセンター高さ  $\overline{GM}$  は、(24)式から(25)式を減ずることにより、

$$\begin{aligned} \overline{GM} &= \overline{BM} - \overline{BG} \\ &= \frac{\beta^2(1-\cos^2 \theta)}{12\alpha \cos^3 \theta} h = \frac{\beta^2 \sin^2 \theta}{12\alpha \cos^3 \theta} h \\ &= \overline{BM} \sin^2 \theta \geq 0 \dots\dots\dots(26) \end{aligned}$$

のように、定めることができる。

この結果から、  $\overline{GM}$  は、傾斜角  $\theta$  や、材質  $\alpha$ 、幅  $\beta$  に依らず、正値を取って、メタセンター  $M$  は常に重心  $G$  より上方に位置することになるから、(19)式で決められる傾斜姿勢  $\theta$  は、安定な状態であることが分かる。只、計算された  $\theta$  が、仮定した(11)式の小傾斜角の範囲内であることを、確認する必要がある。

例えば、以下の状態では、(19)、(25)、(26)式により、

$$\left. \begin{aligned} \beta=1, \alpha=\frac{1}{2} \rightarrow \theta &= \frac{\pi}{4} \\ \therefore \overline{GM} = \overline{BG} &= \frac{\sqrt{2}}{6} h \end{aligned} \right\} \dots\dots\dots(27)$$

となる。これは、正方形断面の対角線が、水線と一致した状態で浮いている場合に相当し、傾斜角  $\theta$  も(12)式の設定範囲内であり、  $\overline{BG}$  と  $\overline{GM}$  も、多くの教科書の例題<sup>(7),(8),(9)</sup>に書いてある結果と一致している。

また、図1は、

$$\left. \begin{aligned} \alpha=0.4, \beta=1.1 \rightarrow \theta &= 31.7^\circ \\ \therefore \overline{GM} = 0.113 h, \overline{BG} &= 0.296 h \\ Z_f &= 0.629 h \end{aligned} \right\} \dots\dots(28)$$

の状態を示したものであり、傾斜姿勢  $\theta$  や、  $B, G, M$  の位置も、正確に描画している。

(28)式中の  $Z_f$  は、右舷側の船底での水深で、

$$\begin{aligned} Z_f &= \left( d + \frac{\beta h}{2} \tan \theta \right) \cos \theta \\ &= \left( \alpha \cos \theta + \frac{\beta}{2} \sin \theta \right) h \dots\dots\dots(29) \end{aligned}$$

によって、計算したものである。



### 5. 安定姿勢 $\theta$ の計算結果

本章では、横傾斜して安定する姿勢  $\theta$  の、幅  $\beta$  や材質  $\alpha$  に対する依存性を把握する。

図2は、幅  $\beta$  に対する依存性 ( $\alpha$  を固定) を、図3は、材質  $\alpha$  に対する依存性 ( $\beta$  を固定) を示すために、(19)式の傾斜角  $\theta$  を Excel で計算した結果である。

$\theta = 0$  は、甲板が水平な状態で安定する (2)式の不等号の限界点であり、図2の場合の  $\beta$  は(3)式により、図3の  $\alpha$  は(4)式によって求めた。

図2、図3とも、材質の  $\alpha$  と  $1-\alpha$  の傾斜角  $\theta$  が等しく得られているのは、(19)式の根号内の因数からも分かる通りである。

なお、図2の  $\alpha = 0.5$  に対する  $\beta < 1$ 、 $\alpha = 0.4, 0.6$  に対する  $\beta < 1.06$ 、 $\alpha = 0.3, 0.7$  に対する  $\beta < 1.04$  の場合、置点できていないのは、(11)式の小傾斜角の範囲を超えているためである。

同様な事情で、図3についても、 $\beta = 1.10, 1.15, 1.20$  の3状態について置点しているのは、幅  $\beta > 1.06$  の場合、材質  $\alpha$  の全範囲に互って、(11)式の小傾斜角の範囲内に収まるからである。

本論で計算できていない、大傾斜角(甲板の一部が水面に浸かったり、船底の一部が空中に浮いたり)の場合も含めた全ての傾斜状態について、五十嵐ら<sup>(2),(3)</sup>が詳細に解析し、 $\alpha$  と  $\beta$  に対する依存性を、マップや表で整理し、実験でも検証して、完璧に解明されているので、興味のある方は、是非ご一読をお願いしたい。

図4は、材質を  $\alpha = 0.5$  に固定して、幅  $\beta = 1.0, 1.1, 1.2, 1.3$  のときの4状態の姿勢を、 $B, G, M$  の

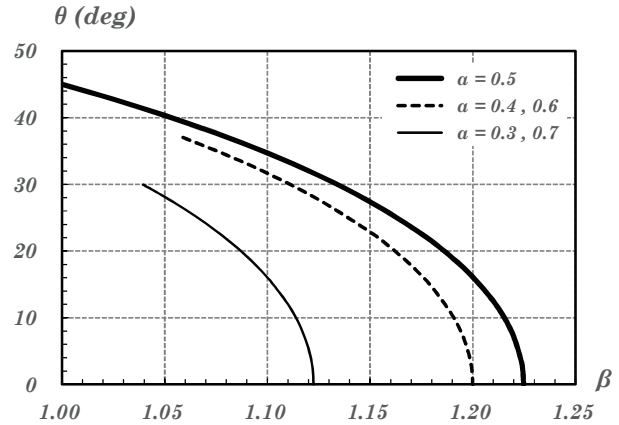


図2 幅  $\beta$  に対する安定姿勢  $\theta$

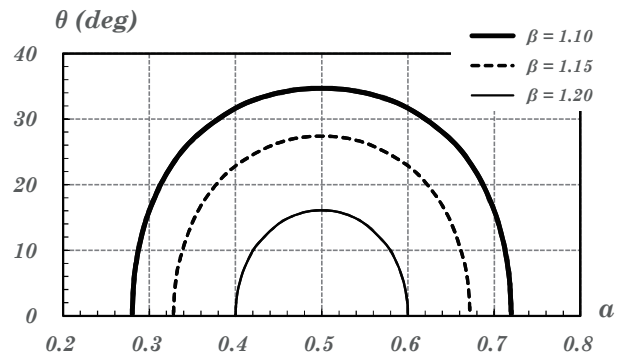


図3 材質  $\alpha$  に対する安定姿勢  $\theta$

位置も含めて、図示したもので、幅  $\beta$  が広くなるに連れて、傾斜角  $\theta$  が小さくなる様子が分かる。

図5は、幅を  $\beta = 1.06$  に固定して、材質  $\alpha = 0.25, 0.3, 0.5, 0.7, 0.75$  のときの5状態の姿勢を示す。材質  $\alpha = 0.5$  を中心に、重くなったり、軽くなったりするに連れて、吃水は増減するが、傾斜角  $\theta$  は、対称に小さくなる様子が分かる。

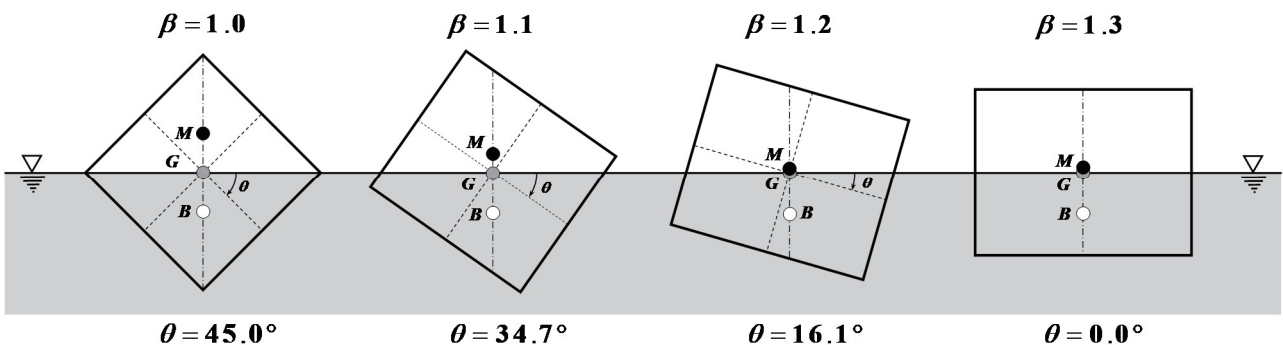


図4 材質  $\alpha = 0.5$  で固定し、幅  $\beta = 1.0, 1.1, 1.2, 1.3$  のときの姿勢

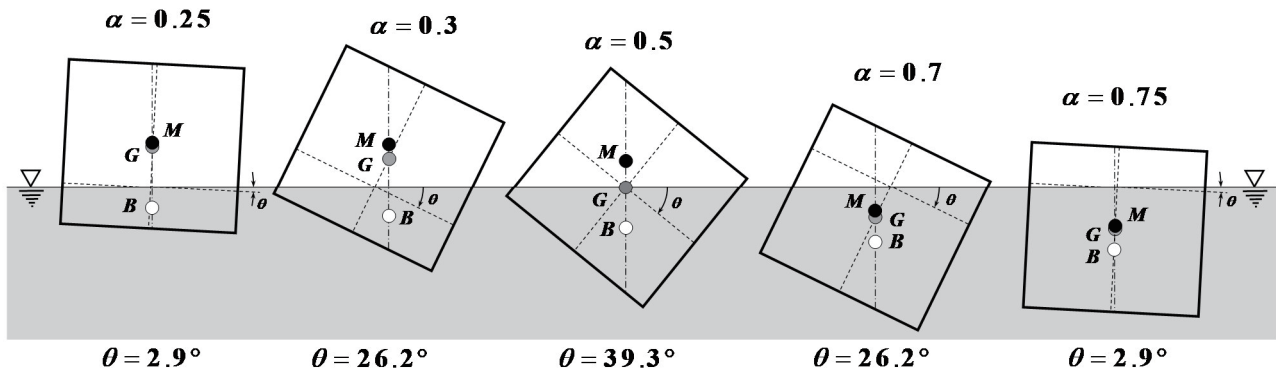


図5 幅を  $\beta = 1.06$  で固定し、材質  $\alpha = 0.25, 0.3, 0.5, 0.7, 0.75$  のときの姿勢

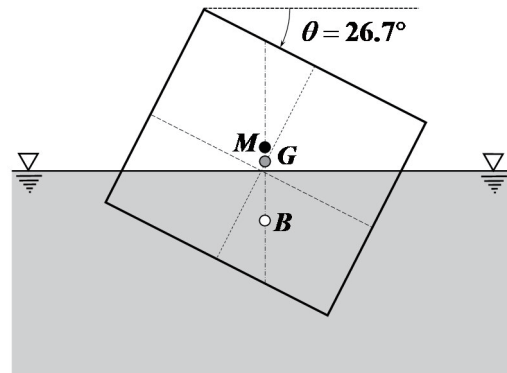
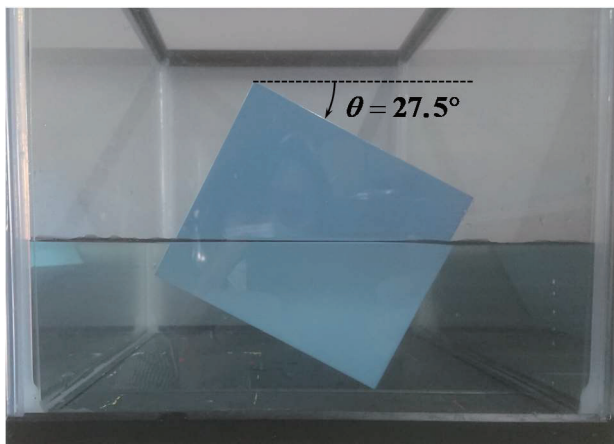


図6 材質  $\alpha = 0.458$ , 幅  $\beta = 1.15$  の場合の実験(左)と計算(右)の比較

### 6. 実験による検証

図6は、材質  $\alpha = 0.458$ 、幅  $\beta = 1.15$  の場合について、模型実験(左)と計算結果(右)を、比較したものである。

模型は、長さ  $L = 35.0 \text{ cm}$ 、深さ  $h = 10.0 \text{ cm}$ 、幅  $\beta h = 11.5 \text{ cm}$ 、重量  $W = 1845 \text{ grf}$  であり、ケミカルウッド2枚を上下に中央で貼り合わせて、(有)宇宙模型で製作して頂いた。それを、小水槽に浮かべて、確認実験を行なった。

傾斜姿勢について、実験は  $\theta = 27.5^\circ$ 、計算は、(19),(25),(26),(29)式により、

$$\left. \begin{aligned} \theta &= 26.7^\circ (\alpha = 0.458, \beta = 1.15) \\ \overline{GM} &= 0.068 h, \overline{BG} = 0.269 h \\ Z_f &= 0.668 h \end{aligned} \right\} \dots\dots(30)$$

である。両者に  $1^\circ$  程度の差はあるものの、実験の傾斜角  $\theta$  は、写真から  $\tan \theta$  を計測して求めていることと、重心位置  $G$  が模型の製作上、中心か

ら若干のズレを生じている可能性も考慮すれば、本稿の計算が、実際の状態を正しく計算できていることを、検証できたと考える。

### 7. あとがき

本稿では、船の安定性理論を理解するために、前報<sup>(1)</sup>の延長線上の応用例題として、長方形断面の柱状船の、横傾斜状態での安定姿勢を求解する手法を、小傾斜角(甲板が水没せず、船底も浮上しない)の範囲に限って、解り易く解説したつもりである。

今後、前報<sup>(1)</sup>の基本例題から一歩進んで、この分野を教える教員や、学ぶ学生諸君にとっての一助にでもなれば、著者望外の幸に思う。

### 謝 辞

本稿を閉じるに臨み、その内容を読んで、とても感銘を受けた、防衛大学校の五十嵐 保 名誉教

授らの、貴重な論文2篇<sup>(2),(3)</sup>に、敬意を表させていただきます。

終わりに、著者が自宅で論文を書いているとき、いつも横で見守ってくれている娘の愛美（White Swiss Shepherd Dog；3歳）に、感謝の言葉を伝えたい。

## 参考文献

- (1) 堀 勉：「船の安定性理論」に関する一例題，日本航海学会誌 NAVIGATION，第217号「解説・展望」，pp.39～46，2021年7月。
- (2) 五十嵐 保：静水に浮く角材の姿勢，日本流体力学会誌「ながれ」，第19巻4号，pp.253～262，2000年8月。
- (3) 五十嵐 保，中村 元：静水に浮く矩形断面柱の姿勢解析，日本流体力学会誌「ながれ」，第26巻6号，pp.393～400，2007年12月。
- (4) 堀 勉：静水圧の圧力積分による船の浮心位置の決定 — 浮心=圧力中心の証明 —，日本航海学会誌 NAVIGATION，第203号「研究・調査」，pp.88～92，2018年1月。
- (5) 堀 勉：静水圧の圧力積分による船の浮心位置の決定 — その6：任意形状の没水体と浮体に対する証明 —，日本航海学会誌 NAVIGATION，第215号「研究・調査」，pp.69～77，2021年1月。

- (6) 堀 勉：船のメタセンター半径  $\overline{BM}$  の導出に関する一考察，日本航海学会誌 NAVIGATION，創刊第200号記念号「研究・調査」，pp.75～79，2017年4月。
- (7) 杉原 喜義：理論運用学（船舶力学編），第3章 横復原力，海文堂，pp.58～59，1964年7月（初版）。
- (8) 明渡 範次：基本航海力学，第3章 船舶の安定性，海文堂，pp.125～132，1983年6月（初版）。
- (9) 大串 雅信：理論船舶工学（上巻）新訂版，第4.4節 横メタセンタおよび  $\overline{BM}$ ，問題2&3，海文堂，pp.82～83，1971年6月（初版）。

## 附 録

横傾斜時の水面下の横断面形状である，台形の図心  $B'$  を，面積モーメントから，幾何学的に求めておく。

図 A-1 に示すように，船底中央に原点  $o$  を配し，浮体に固定して傾斜した  $o-\eta\zeta$  座標系で解析することにしよう。直立時の吃水を  $d$ ，半幅を  $b$ ，横傾斜角を  $\theta$  とし，水面下の台形領域を，長方形（図心  $g_1$ ）と三角形（図心  $g_2$ ）に，一点鎖線で分けて，考えよう。

長方形部分と三角形部分の面積を， $A_1, A_2$  と置

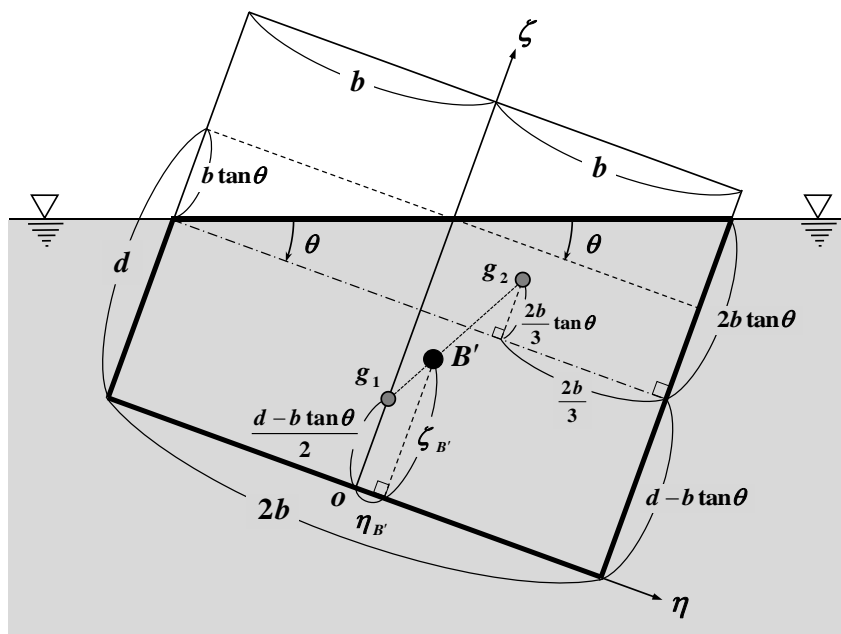


図 A-1 水面下の台形領域の図心  $B'$



けば、各々とその和は、

$$\left. \begin{aligned} A_1 &= 2b(d - b \tan \theta) \\ A_2 &= \frac{1}{2} \cdot 2b \cdot 2b \tan \theta = 2b^2 \tan \theta \\ A_1 + A_2 &= 2bd \end{aligned} \right\} \dots\dots(A-1)$$

のように求まる。

次に、 $\eta$  軸に関する面積モーメント  $M'_\eta$  は、

$$\begin{aligned} M'_\eta &= A_1 \times \frac{d - b \tan \theta}{2} \\ &\quad + A_2 \times \left\{ (d - b \tan \theta) + \frac{2b \tan \theta}{3} \right\} \\ &= bd^2 + \frac{1}{3} b^3 \tan^2 \theta \quad \dots\dots(A-2) \end{aligned}$$

のように、 $\zeta$  軸に関する面積モーメント  $M'_\zeta$  は、

$$\begin{aligned} M'_\zeta &= A_1 \times 0 + A_2 \times \left( b - \frac{2b}{3} \right) = A_2 \times \frac{b}{3} \\ &= \frac{2}{3} b^3 \tan \theta \quad \dots\dots(A-3) \end{aligned}$$

のように計算される。

台形の図心位置  $B'$  の座標を  $(\eta_{B'}, \zeta_{B'})$  とすれば、上記の面積モーメント  $M'_\eta, M'_\zeta$  は、それぞれ、全面積とレバーの積として、

$$\left. \begin{aligned} M'_\eta &= (A_1 + A_2) \zeta_{B'} \\ M'_\zeta &= (A_1 + A_2) \eta_{B'} \end{aligned} \right\} \dots\dots(A-4)$$

のように書くことができるから、 $\eta_{B'}, \zeta_{B'}$  は、

$$\left. \begin{aligned} \eta_{B'} &= \frac{M'_\zeta}{A_1 + A_2} = \frac{b^2}{3d} \tan \theta \\ \zeta_{B'} &= \frac{M'_\eta}{A_1 + A_2} = \frac{d}{2} + \frac{b^2}{6d} \tan^2 \theta \end{aligned} \right\} \dots\dots(A-5)$$

のように、決定される。

図 A-1 の  $g_1, B', g_2$  は、この状態での正しい位置を置点して、3 点は同一直線上に在る。

令和 3 年 8 月 1 日 投稿



堀 勉

正会員 長崎総合科学大学 工学部 船舶工学コース 教授 (☎851-0193 長崎市 網場町 536)  
 E-mail : HORI\_Tsutomu@NiAS.ac.jp, HomePage : <http://www.ship.nias.ac.jp/personnel/horiken/>  
 1987 年 大阪大学 大学院 工学研究科 造船学専攻 博士後期課程 修了, 工学博士  
 所属学会 : 日本航海学会, 日本船舶海洋工学会の各会員 ; 研究テーマ : 水面波動力学

巻頭言

グレート・キャプテンの一生 / *The Life of Grate Captain* ..... 逸見 真 / *Shin HEMMI* ... ( 1 )

新たな針路へ向けて

本学会の改革検討の取組みについて / *A discussion for reformation of activity of JIN* ..... 酒出 昌寿 / *Masatoshi SAKAIDE* ... ( 3 )

特集

東京湾湾口におけるバーチャル AIS 航路標識設置後の交通流の変化について ~ 遭遇時における OZT 密度および船舶位置の変化 ~

/ *Change of Marine Traffic after Virtual AIS Buoy Setting About Ship Position and OZT Density at Encounter Situation*

..... 福田 徹・田丸 人意・庄司 るり / *Gen FUKUDA, Hitoi TAMARU and Ruri SHOJI* ... ( 4 )

伊勢湾口で受信した AIS データの解析 / *Analysis of AIS Data Received at an Inlet of the Ise Bay*

..... 瀬田 広明・鈴木 治 / *Hiroaki SETA, Osamu SUZUKI* ... ( 9 )

備讃瀬戸東航路周辺におけるこませ網漁船の操業ハザードマップの作製 / *Development of Hazard Map for Fishing Vessels in Bisan Seto East Traffic Route*

..... 山崎 慎也・栗本 裕和・向井 利夫・寶珠山 輝生 / *Shinya YAMASAKI, Hirokazu KURIMOTO, Toshio MUKAI and Teruo HOUSYUYAMA* ... ( 15 )

関門海峡の航行環境の変遷について / *The Changes in the Marine Traffic Environment of the Kanmon Strait*

..... 酒出 昌寿 / *Masatoshi SAKAIDE* ... ( 22 )

AIS Class B の受信可能海域の推定 / *Coverage Area Estimation of AIS Class B Radio Wave*

..... 田中 隆博・山中 仁昭・山本 淳 / *Takahiro TANAKA, Masaaki YAMANAKA and Atsushi YAMAMOTO* ... ( 35 )

海事博物館紹介

対馬丸記念館の紹介 / *Introduction of Tsushima-maru Memorial Museum* ..... 種市 雅彦 / *Masahiko TANEICHI* ... ( 41 )

解説・展望

推測航法と Dead Reckoning / *Japanese Term for Dead Reckoning* ..... 石田 正一 / *Shoichi ISHIDA* ... ( 48 )

「船の安定性理論」に関する応用例題 — 横傾斜状態での安定姿勢の求解 —

/ *An Advanced Example on Ship's Stability Theorem — Solution for Stable Attitude of an Inclined Ship —* ..... 堀 勉 / *Tsutomu HORI* ... ( 58 )

研究・調査

AIS 導入以降の VHF 帯無線チャンネル割当て変遷と今後 - 練習船における現状 -

/ *Changes about Reallocation of Maritime VHF Band - Present Condition on Training Ships -*

..... 霜田 一将・藤井 肇・鈴木 治 / *Kazumasa SHIMODA, Hajime FUJII, and Osamu SUZUKI* ... ( 66 )

航海功績賞

2020 年度 日本航海学会航海功績賞 / *JIN Navigational Achievement Award in 2020* ..... 学会事務局 ... ( 74 )

事務局だより ..... ( 77 )

投稿要領 ..... ( 79 )